

В.М. Климкин, В.Н. Федорищев

ЛАЗЕРНО-ИНДУЦИРОВАННАЯ ФЛУОРЕСЦЕНЦИЯ ПАРОВ H_2O

Исследована флуоресценция чистых паров обычной и тяжелой воды, возбуждаемых излучением KrF*-лазера. В экспериментах наблюдалась флуоресценция OH при двухквантовом фотолизе H_2O , а также широкополосная флуоресценция H_2O , возбуждаемая в однофотонном процессе поглощения. Предполагается, что флуоресценция принадлежит колебательно-вращательным переходам основного электронного состояния H_2O , возбужденного в состояния с предельно высокой ангармоничностью.

Излучение KrF*-лазера по отношению к молекуле H_2O имеет следующие особенности. Во-первых, энергия лазерного кванта $E_L = 40160 \text{ см}^{-1}$ только на 1000 см^{-1} меньше энергии диссоциации основного электронного состояния H_2O . Во-вторых, если аппроксимировать на УФ-область данные видимого диапазона [1] о плотности линий поглощения H_2O на единичный спектральный интервал, то при типичной спектральной ширине лазерного излучения $\sim 100 \text{ см}^{-1}$ по крайней мере около 10 линий поглощения H_2O попадают в полосу излучения лазера. Наконец, энергия двух квантов KrF*-лазера достаточно для возбуждения электронных состояний H_2O . До последнего времени в исследованиях использовано только последнее обстоятельство, в частности, в работах [2-5] изучено явление флуоресценции OH и OD в области 306–320 нм, образующихся при двухфотонном фотолизе H_2O и D_2O .

В работе [6] мы сообщали о наблюдении флуоресценции в свободной атмосфере при распространении в ней излучения KrF*-лазера. В типичных лидарных экспериментах было установлено, что флуоресценция возбуждается в одноквантовом процессе поглощения лазерного излучения при наличии в атмосфере паров воды.

В настоящей работе приведены результаты кюветных исследований флуоресценции H_2O и D_2O , возбуждаемой излучением KrF*-лазера.

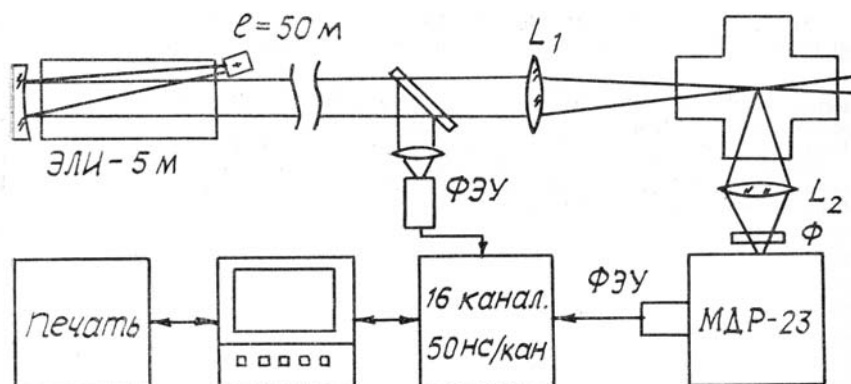


Рис. 1. Схема установки для наблюдения лазерно-индукционной флуоресценции паров воды

На рис. 1 представлена схема экспериментальной установки для наблюдения флуоресценции газов в контролируемых условиях. KrF*-лазер располагался на расстоянии 50 м от кюветы с исследуемой смесью газов, чем обеспечивалось ослабление спонтанного излучения разряда в лазерной камере практически без потерь лазерной энергии. Излучение лазера фокусировалось в кювету линзой L_1 с $f = 60 \text{ см}$. Флуоресценция наблюдалась из области пространства, близкой к перетяжке лазерного пучка, под углом 90° к направлению его распространения. При такой геометрии эксперимента разносторонней линзой L_1 или L_2 относительно общего фокуса легко убедиться, что сигнал обусловлен наличием газа и не связан с флуоресценцией стенок или окон кюветы. Окна кюветы и линзы L_1 и L_2 были выполнены из специально отобранных образцов кварца, обладающих низким уровнем флуоресценции. Для вакуумирования и наполнения смесями газов кювета присоединялась к вакуумному посту. При регистрации слабых сигналов флуоресценции весьма важным является подавление рассеянного излучения на $\lambda = 248 \text{ нм}$ в оптическом приемном тракте. В нашем случае для этой цели использовался жидкостный абсорбционный фильтр Φ . Фильтр ослаблял излучение $\lambda = 248 \text{ нм}$ на 4 порядка.

Возбуждаемая в кювете флуоресценция регистрировалась ФЭУ в счетно-фотонном режиме и далее счетчиком фотоэлектронных импульсов в 16-ти последовательных временных интервалах с учетом длительностью по 50 нс. Такая система регистрации обеспечивала измерения интенсивности и времен тушения флуоресценции.

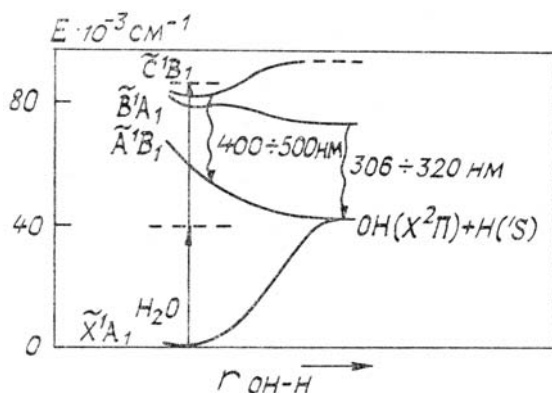


Рис. 2. Схема возникновения флуоресценции H_2O и OH при двухфотонном возбуждении H_2O KrF^* -лазером

Для привязки кюветных измерений к результатам лидарных экспериментов [6], мы записали спектры СКР и флуоресценции воздуха в кювете, а также спектры сухих газовых смесей и смесей, содержащих пары H_2O и D_2O . Эти записи показали, что при сравнимых уровнях плотности мощности спектры флуоресценции свободной атмосферы и воздуха в кювете совпадают, а характерная полоса флуоресценции регистрируется только в газовых смесях, содержащих пары H_2O или D_2O .

Возможности создания высоких плотностей мощности в кювете при фокусировке лазерного излучения позволяют найти пороговые значения плотности мощности для двухфотонного процесса возбуждения электронных состояний молекул H_2O , сопоставить их с плотностями мощности, типичными для лидарных экспериментов в атмосфере, и сделать вывод о необходимости учета нелинейных процессов. Двухфотонные процессы возбуждения в парах воды проявляются в первую очередь в возникновении флуоресценции OH на переходах $A^2\Sigma - X^2\Pi$. На рис. 2, заимствованном из [7], приведена схема возбуждения OH в процессе двухфотонной диссоциации воды KrF^* -лазером. Около 10% молекул H_2O , возбужденных в состояние $\tilde{\text{C}}^1\text{B}_1$, распадаются с образованием электронно-возбужденного «вращательно-горячего» OH , излучающего в полосе $306 \div 318 \text{ нм}$. Непосредственно в H_2O также имеет место слабая флуоресценция на переходах $\tilde{\text{C}}^1\text{B}_1 - \tilde{\text{A}}^1\text{B}_1$ с максимумом около 420 нм [8].

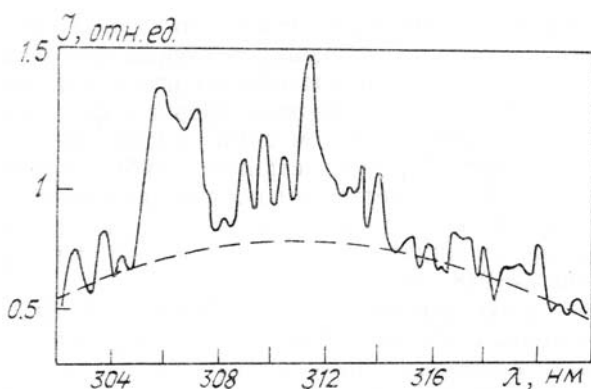


Рис. 3. Фрагмент записи спектра флуоресценции паров H_2O при плотности мощности $\sim 100 \text{ МВт/см}^2$, содержащий полосу излучения OH

Для определения порога двухфотонных процессов записывались спектры флуоресценции чистых паров H_2O при давлении $P_{\text{H}_2\text{O}} = 3 \text{ Торр}$ для различных уровней плотности мощности лазерного излучения. На рис. 3 представлен фрагмент записи спектра для спектрального интервала $300 \div 320 \text{ нм}$, соответствующий плотности мощности 100 МВт/см^2 . Как видно из рисунка, спектр OH регистрируется на фоне широкой полосы флуоресценции воды (пунктирная кривая). При плотности мощности 10 МВт/см^2 выделить сигнал OH на фоне флюктуаций широкополосной флуоресценции не удается. Эти эксперименты подтвердили сделанный в работе [6] вывод о том, что флуоресценция воды возбуждается в линейном процессе поглощения и что в лидарных экспериментах плотности мощности существенно ниже пороговых для двухфотонных процессов.

Для практического использования обнаруженного явления флуоресценции атмосферы и построения его физической модели необходимы данные по временам затухания и константам тушения флуоресценции. На рис. 4 представлены спектры флуоресценции чистых паров H_2O при давлении $0,1 \text{ Торр}$, зарегистрированные после импульса возбуждения в трех последовательных временных ин-

тервалах. Как видно из рисунка, в спектре имеется как минимум 3 спектральных интервала, характеризующихся различными временами затухания. При указанных условиях коротким временем затухания соответствует $\tau_1 \approx 60$ нс, длинным — $\tau_2 \approx 200$ нс. При $P_{H_2O} = 0,1$ Торр характерное время газо-кинетических столкновений $\tau_c \approx 10^{-4}$ с, время пролета частиц через каустику $\tau_n \approx 10^{-5}$ с, следовательно, есть основания сделать вывод о том, что τ_1 и τ_2 определяются внутримолекулярными процессами. Следует отметить, что минимальное давление чистых паров H_2O , при которых были записаны спектры флуоресценции, составляло 10^{-2} Торр.

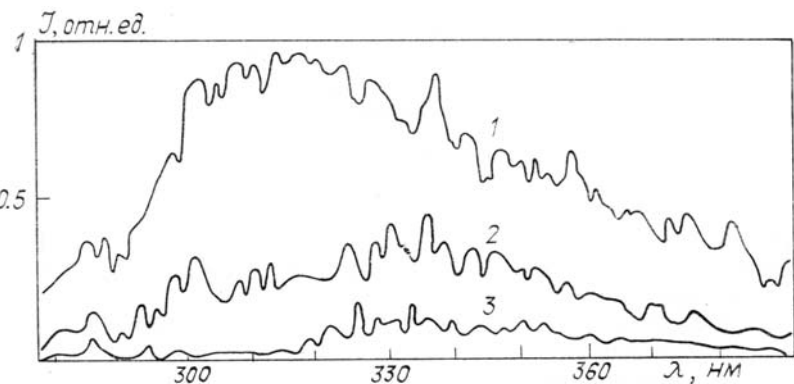


Рис. 4. Спектры флуоресценции H_2O , записанные в 3-х последовательных временных интервалах после окончания импульса возбуждения: 1 – 0÷50 нс, 2 – 50÷100 нс, 3 – 100÷150 нс

На рис. 5 представлены зависимости интенсивности флуоресценции от давления аргона и воздуха при насыщенном давлении паров воды ($P_{H_2O} = \sim 15$ Торр). Как и следовало ожидать, в силу малых времен жизни флуоресценции инертный газ флуоресценцию не тушит. Тушение воздухом весьма существенно и удовлетворительно описывается соотношением Штерна—Фальмера с параметрами $\tau_1 = 50$ нс, $\sigma_{\text{тущ}} = 5 \cdot 10^{-16}$ см². Из этих измерений следует, что время жизни флуоресценции при атмосферном давлении составляет 3 нс. В типичных задачах лазерного зондирования атмосферы данный процесс можно считать мгновенным.

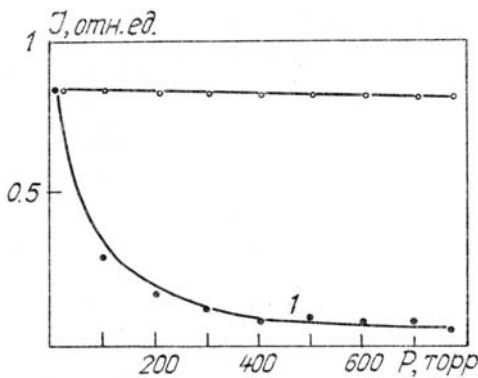


Рис. 5. Кривые тушения флуоресценции: ○○○ — аргоном; ●●● — воздухом; 1 — кривая Штерна—Фальмера

Обсудим совокупность полученных экспериментальных результатов. Во-первых, флуоресценция возбуждается в одноквантовом процессе поглощения и, во-вторых, наблюдается в условиях, когда столкновениями можно пренебречь. С учетом этих фактов и первых двух особенностей излучения KrF*-лазера по отношению к молекуле H_2O , указанных в начале статьи, необходимо принять, что наблюдаемая флуоресценция принадлежит колебательно-вращательным переходам основного состояния молекулы воды. На рис. 6 представлена пока гипотетическая схема возбуждения колебательно-вращательных состояний молекулы H_2O излучением KrF*-лазера и энергетические границы переходов, обусловливающих флуоресценцию. На схеме показано также положение первых колебательных частот H_2O по отношению к этим границам.

Возможность наблюдения флуоресценции на колебательно-вращательных переходах воды анализировалась в [9]. При возбуждении H_2O рубиновым лазером мощностью 10^4 Вт в колебательной полосе 000–103 с коэффициентом Эйнштейна $A = 5 \text{ с}^{-1}$ рассчитанный в [9] сигнал флуоресценции выше порога регистрации ФЭУ. Случай с KrF*-лазером более благоприятен, т.к. флуоресценция наблюдается на переходах с высокими v и, следовательно, с соответствующим выигрышем в значениях

A. Отметим также, что KrF*-лазер возбуждает H₂O в состояния с максимальной ангармоничностью колебаний.

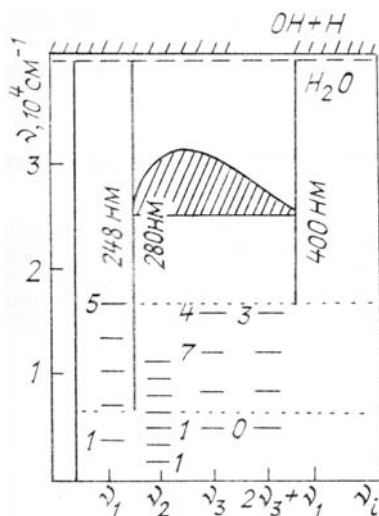


Рис. 6. Колебательный спектр H₂O и гипотетическая диаграмма оптических переходов при флуоресценции. Рисунок иллюстрирует только энергетические масштабы процесса (Положение полосы по отношению к колебательным частотам условное)

Что касается малых времен жизни флуоресценции, то в данной модели столь быстрый распад возбужденных состояний нельзя объяснить радиационными процессами. Наиболее вероятно, что в силу больших амплитуд колебаний, имеет место внутренняя колебательная конверсия.

1. Camy-Peyret C., Flaud J.-M., Mandin J.-Y., Brau J., Ramsay D.A., Verloet M. //J. Mol. Spectr. 1985. V. 113. P. 208.
2. Fotakis C., McKendrick C.B., Donovan R.J. //Chem. Phys. Lett. 1981. V. 80. P. 598.
3. Papagiannopoulos P., Fotakis C. //J. Phys. Chem. 1985. V. 89. P. 3439.
4. Hodgson A., Simons J.P., Ashfold M.N.R., Bayley J.M., Dihon R.N. //Mol. Phys. 1985. V. 54. № 2. P. 351.
5. Hodgson A., Simons J.P., Ashfold M.N.R., Bayley J.M., Dihon R.N. //Chem. Phys. Lett. 1984. V. 107, № 1.
6. Климкин В.М., Федорищев В.Н. //Оптика атмосферы. 1988. № 7. С. 72–76.
7. Meijen G., Meulen J.J., Andrensen P., Bath A. //J. Chem. Phys. 1986. V. 12. P. 6914.
8. Dochen M.P., Hodgson A., Simons J.P. //J. Mol. Phys. 1986. V. 57. P. 129.
9. Кузнецова Э.С., Подколоденко М.В. //ЖПС. 1968. VIII. С. 505–506.

Институт оптики атмосферы
СО АН СССР, Томск

Поступила в редакцию
4 мая 1988 г.

V. M. Klimkin, V. N. Fedorishhev. **Laser-Induced Water Vapor Fluorescence.**

Pure ordinary and heavy water vapor fluorescence under the KrF*-laser excitation was studied. The OH fluorescence induced by the two-quantum H₂O photolysis and the wide-band H₂O fluorescence due to the excitation in the single-photon absorption process were observed experimentally. The fluorescence is likely to occur on the vibration-rotational transitions from the H₂O electronic ground state to highly anharmonic states.